

# Modélisation et Commande par Approche d'État pour INOVEO

---

Y. EL Mrabet, C. Kulcsár, H.F. Raynaud (L2TI)  
J. M. Conan, A. Costille, C. Petit (ONERA)

# OA en Ophtalmologie

---

- ✓ Corriger les déformations du front d'onde lors de sa propagation dans les tissus

# OA en Ophtalmologie

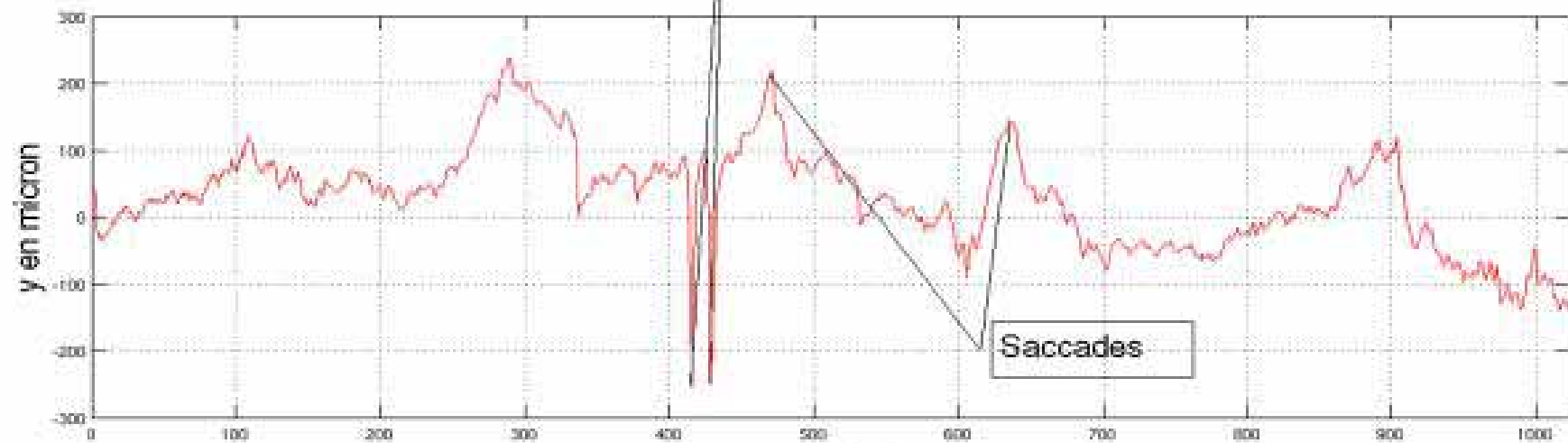
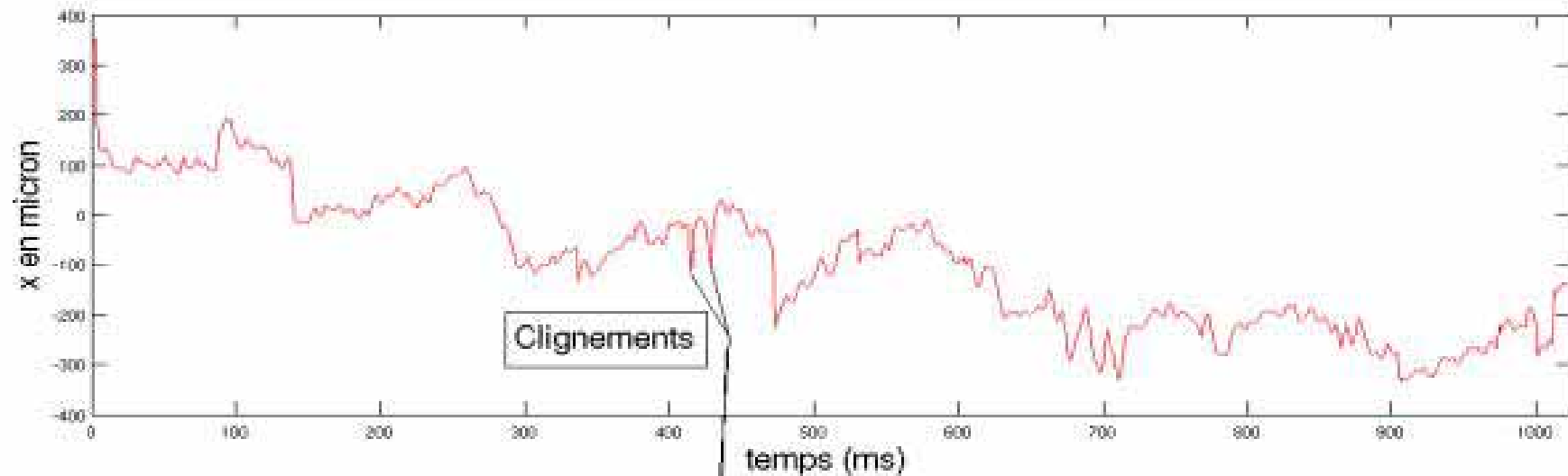
---

- ✓ Corriger les déformations du front d'onde lors de sa propagation dans les tissus

+

- ✓ Compenser les effets des mouvements involontaires de l'œil en fixation

# Séquence type des $\mu m^{vts}$ de l'œil en fixation



# Objectifs d'INOVEO (ANR-RNTS)

---

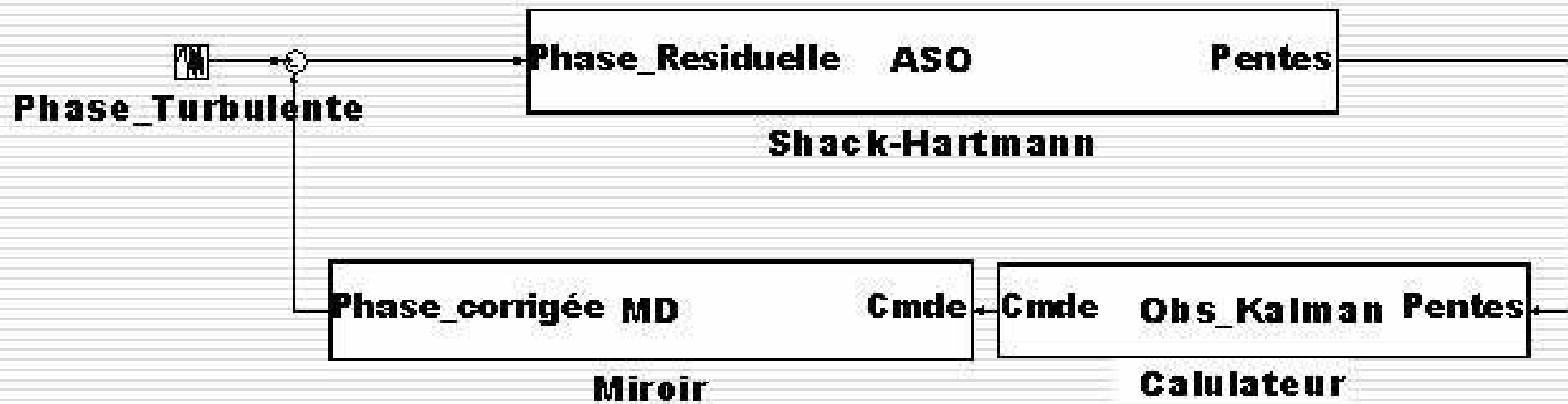
Conception d'un prototype d'ophtalmoscope

Instrument d'observation et d'imagerie à très haute résolution du tissu rétinien in vivo

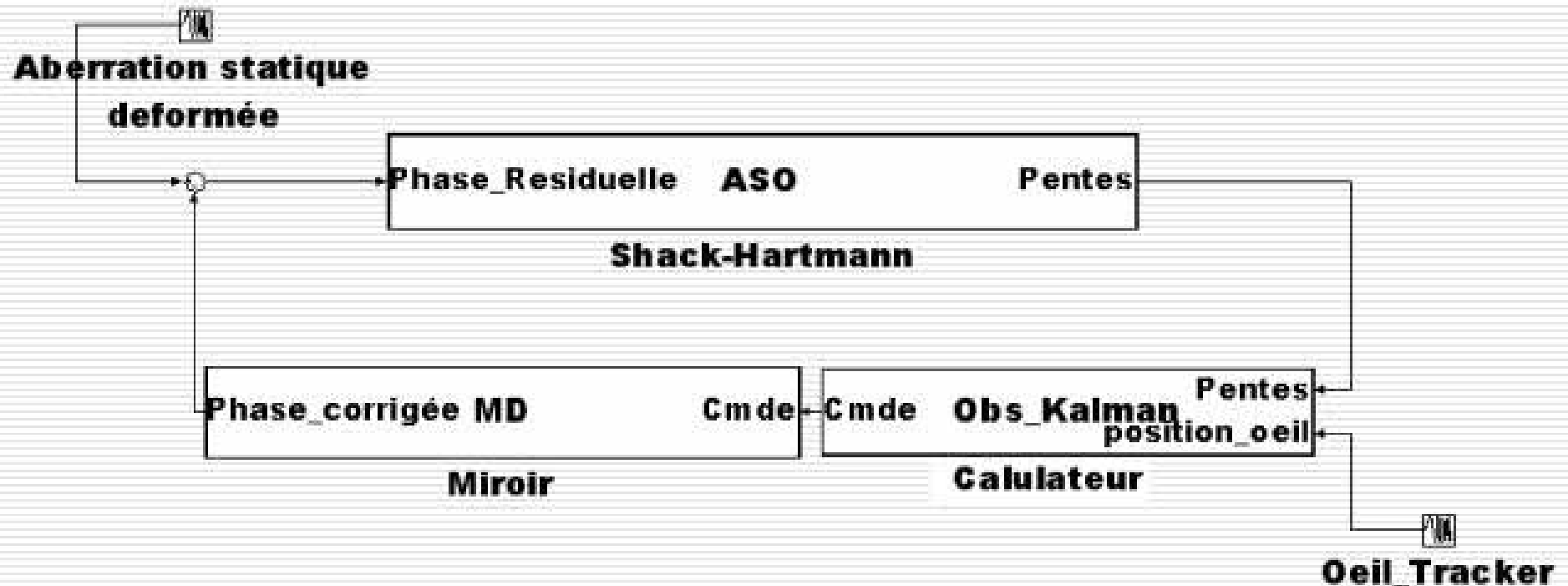
Partenaires: L2TI, ONERA, Imagines-Eyes, LESIA, Hôpital Quinze - Vingt , CHI Créteil, Hôpital Necker, Mauna Kea Technologies, ...

# Boucle OA en Astronomie

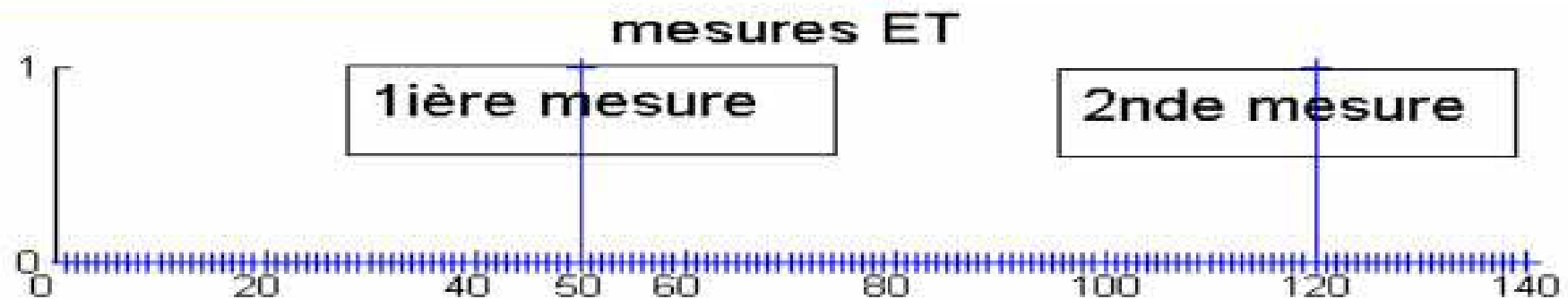
---



# Boucle OA en Ophtalmologie

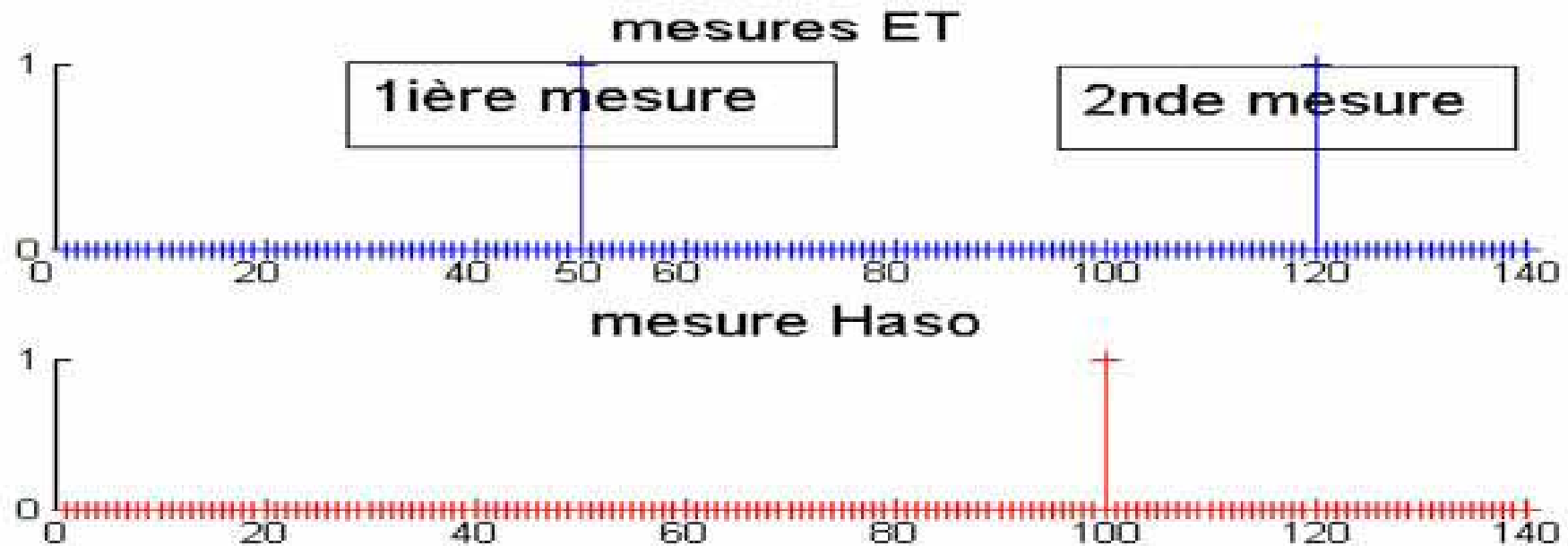


# Chronogramme du système entre 2 flashes caméra

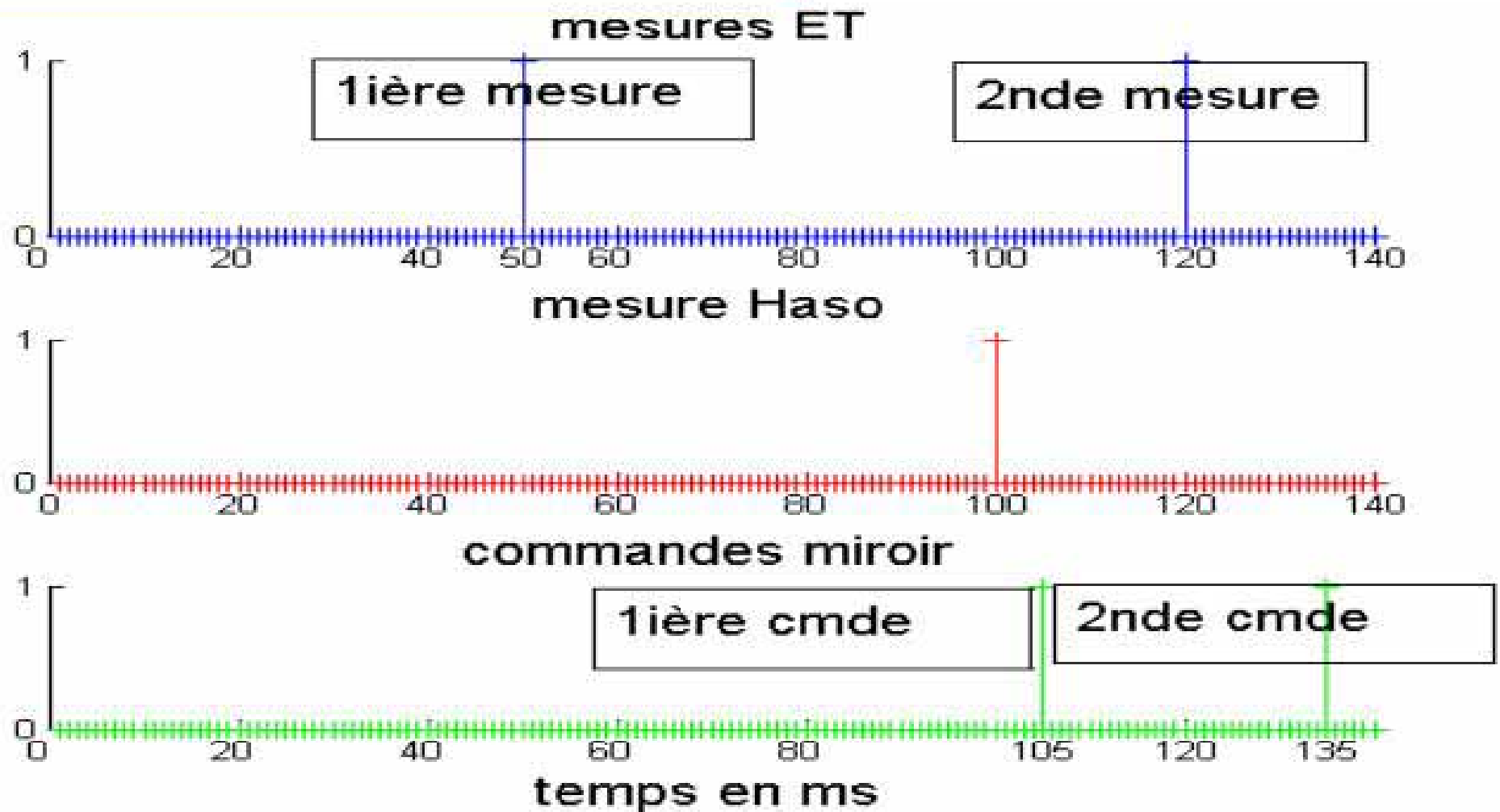


# Chronogramme du système entre 2 flashes caméra

---



# Chronogramme du système entre 2 flashes caméra



# Prédiction du mvt

---

Commande 1: 55ms après la 1<sup>ère</sup> mesure

Commande 2: 15ms après la 2<sup>ième</sup> mesure

  Prédicteur de mouvement

  Nécessité d'avoir un modèle de mouvement

# Étape cruciale: Modélisation

---

- ☑ Étude et modélisation linéaire des  $\mu\text{m}^{\text{vts}}$
- ☑ Modélisation par espace d'état de la boucle fermée OA
- ☑ Prédicteur de Kalman de ces  $\mu\text{m}^{\text{vts}}$  .

# Structure du modèle d'état de la position de l'oeil

---

- Modèle linéaire AR d'ordre 2

$$\begin{bmatrix} d_x(k) \\ d_y(k) \end{bmatrix} = A_1 \cdot \begin{bmatrix} d_x(k-1) \\ d_y(k-1) \end{bmatrix} + A_2 \cdot \begin{bmatrix} d_x(k-2) \\ d_y(k-2) \end{bmatrix} + \begin{bmatrix} \eta_1(k) \\ \eta_2(k) \end{bmatrix}$$

- Estimation des paramètres

moindres carrés

Yule-Walker

$$A_1 = \begin{pmatrix} 1.9405 & 0.0267 \\ -0.0592 & 1.9352 \end{pmatrix}$$

$$A_2 = \begin{pmatrix} -0.9412 & -0.0264 \\ 0.0583 & -0.9388 \end{pmatrix}$$

# Exemple

	Mesure ET ( $\mu\text{m}$ )	Val. Finale ( $\mu\text{m}$ )	Val. modèle ( $\mu\text{m}$ )	Écart val.finale /mesure	Écart val.finale /modèle
1 <sup>ère</sup> mesure	9.0051		12.9955	13.7958	9.8054
	70.9842	22.8009	53.1750	5.6225	12.1867
2 <sup>ème</sup> mesure	13.9221	65.3617	25.6284	8.8788	2.8275
	44.4048		57.2042	20.9569	8.1575
					

# Estimateur de Kalman associé

---

- **Filtre de Kalman pour la prédiction :**  
estimation de  $dx(k+n)$  et  $dy(k+n)$  en fonction des mesures et de l'estimée précédente
- **Minimise la variance de l'erreur d'estimation/prédiction**

$$\begin{bmatrix} e_1(k+1|k) \\ e_2(k+1|k) \end{bmatrix} = \begin{bmatrix} d_x(k+1) \\ d_y(k+1) \end{bmatrix} - \begin{bmatrix} \hat{d}_x(k+1|k) \\ \hat{d}_y(k+1|k) \end{bmatrix}$$

# Conclusion

---

- Détection automatique des saccades et des clignements
- Calage du modèle sur le patient
- Importance d'avoir des bonnes performances pour la commande
- Validation sur plusieurs jeux de données